

МЕХАНИЗМ СТОХАСТИЧЕСКОГО РЕЗОНАНСА В СИСТЕМЕ С ПЕРЕМЕЖАЕМОСТЬЮ ТИПА «ХАОС-ХАОС»

© И.А.Хованов, В.С.Анищенко

Классический эффект стохастического резонанса (СР) [1,2] наблюдается в бистабильных системах, возмущаемых шумом и периодическим сигналом. Графики зависимости отношения сигнал/шум и коэффициента усиления от интенсивности шума носят резонансный характер. Эффект СР наблюдается при совпадении средней частоты переключений между состояниями и частотой сигнала [3].

Процесс переключений в бистабильной системе может не только индуцироваться шумом, но и быть следствием собственной динамики системы [4,5].

В ряде работ [4–7] показано, что явление СР наблюдается в системах, имеющих хаотическую динамику; в роли интенсивности шума может выступать внутренний параметр системы. Однако в этих работах не рассматривался вопрос о связи спектральных характеристик на выходе системы со степенью когерентности (или синфазности) между периодическим возмущением и откликом системы. Ответ на этот вопрос и составляет предмет данной статьи.

Объектом исследований является симметричная нелинейная цепь Чуа, реализующая динамическую перемежаемость типа “хаос–хаос” [8–12], которую можно трактовать как обобщенный режим динамической бистабильности [4]. Динамика цепи Чуа описывается системой трех дифференциальных уравнений первого порядка [13]

$$\begin{aligned}\dot{x} &= \alpha[y - h(x)], \\ \dot{y} &= x - y + z, \\ \dot{z} &= -\beta y + F(t),\end{aligned}\tag{1}$$

$$h(x) = m_1 x + 1/2(m_0 - m_1)(|x + 1| - |x - 1|)$$

и определяется значениями управляющих параметров: α , β , m_0 , m_1 . Периодическое воздействие $F(t) = a \cos(\omega_c t)$ вводится в третье уравнение, что отвечает наиболее корректному способу подключения источника напряжения в физическую цепь.

Зафиксируем все параметры автономной системы $\beta = 14.286$, $m_0 = -1/7$, $m_1 = 2/7$, кроме параметра α , который теперь отвечает за собственную динамику системы. Исследования будем проводить методом численного моделирования. В качестве спектральных характеристик выберем отношение сигнал/шум SNR и коэффициент усиления η , которые определяются следующими соотношениями:

$$SNR = 10 \log \frac{S}{N}, \quad \eta = 10 \log \frac{S}{a^2}, \quad (2)$$

где S — высота пика в спектральной плотности мощности отклика на частоте внешнего сигнала ω_c , N — шумовой пьедестал на этой же частоте, a — амплитуда внешнего сигнала. Спектральные характеристики выходного сигнала будем анализировать двумя методами: двух состояний и полной динамики [4,14]. Спектральные характеристики, полученные методом двух состояний и полной динамики, отметим индексами t и f соответственно.

Степень когерентности отклика будем характеризовать плотностью распределения времен пребываний, распределением фазы сигнала в момент перехода из одного состояния в другое и средней частотой переключений между состояниями [4,14,15].

Время пребывания определяется промежутком времени между моментом перехода системы в выбранное состояние и моментом переключения в другое состояние. Моменту переключения соответствует определенная фаза сигнала $\varphi \in [0 : 2\pi]$. Время в распределении времен пребываний нормировано на период внешнего сигнала $\tau = t/T_c$ ($T_c = 2\pi/\omega_c$).

Гистограммы времен пребываний $p(\tau)$ и фазы сигнала в момент переключения $p(\varphi)$ будут определять также вероятностные меры процесса. Средний период переключений будет определяться как первый момент от $p(\tau)$:

$$\langle T \rangle = 2 \int_0^\infty \tau p(\tau) d\tau = \lim_{t' \rightarrow \infty} \frac{2}{t'} \int_0^{t'} \tau p(\tau) d\tau; \quad (3)$$

круговая частота переключений равна $\langle \omega \rangle = 2\pi/\langle T \rangle$ и зависит от параметра системы α , амплитуды a и частоты ω_c внешнего сигнала.

Рассмотрим эволюцию характеристик системы в области возникновения перемежаемости типа “хаос–хаос” при изменении параметра α для двух режимов внешнего воздействия: слабого $a = 0.01$ и сильного $a = 0.3$.

Зависимости отношения сигнал/шум и коэффициента усиления от параметра α для сильного и слабого воздействия носят резонансный характер (рис. 1, а и б). Зависимости SNR_f и SNR_t от α для обоих режимов воздействия

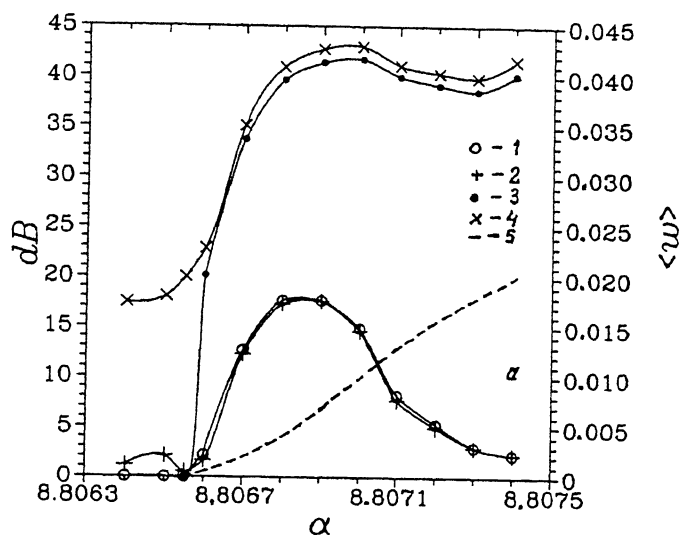
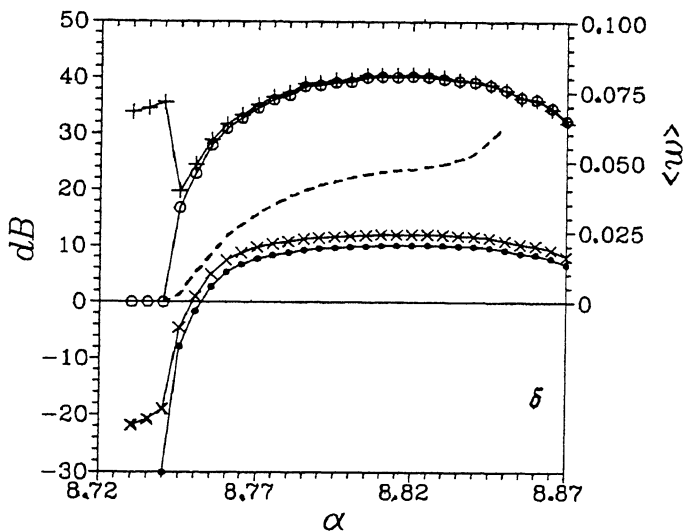
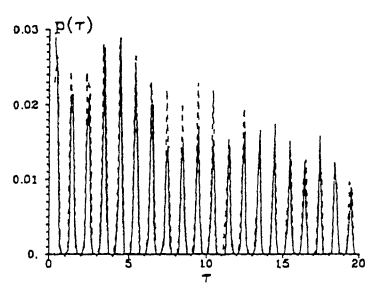

 α

 δ

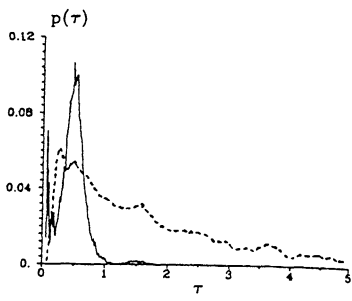
Рис. 1. Зависимость характеристик на выходе системы от параметра α для двух режимов воздействия: a — $a = 0.001$, b — $a = 0.3$: 1 — SNR_t , 2 — SNR_f , 3 — η_t , 4 — η_f , 5 — $\langle \omega \rangle$.

можно условно разбить на пять областей: 1 — отсутствие переключений; 2 — возникновение переключений; 3, 4, 5 — рост, максимум и уменьшение SNR соответственно.

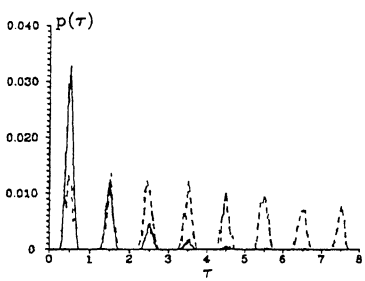
В области значений α , при которых переключения отсутствуют, $SNR_t = 0$, а поведение SNR_f определяется струк-



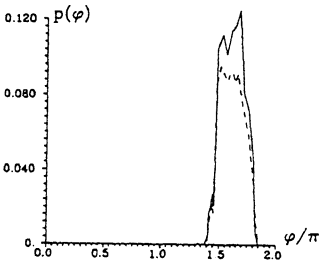
а



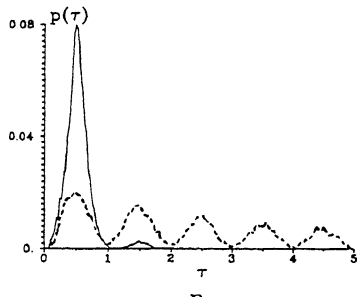
Г



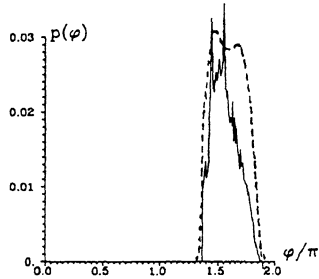
б



Д



в



е

Рис. 2. Статистические характеристики процесса переключений для различных областей зависимости SNR : а, д — вторая область; б, е — третья область; в, ж — четвертая область; г, з — пятая область. Зависимости $p(\tau)$ изображены на рисунках а-г, а $p(\varphi)$ — д-з. Сплошным кривым соответствует режим сильного воздействия, пунктиром — режим слабого воздействия.

турой хаотического аттрактора. В момент начала переключений SNR_f уменьшается, а значение SNR_t становится отличным от нуля. Усиление в этой области начинает увеличиваться. Распределение времен пребываний состоит из последовательности пиков, расположенных на време-

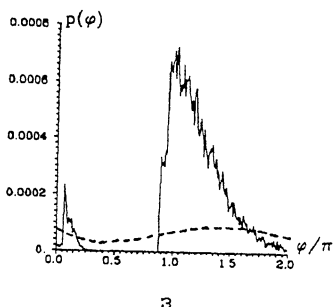
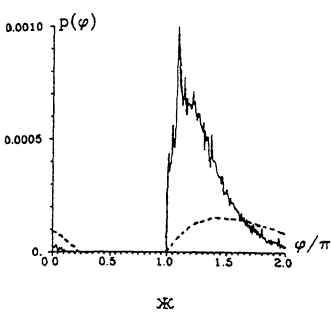


Рис. 2 (продолжение).

нах, кратных периоду сигнала $T_c/2 + nT_c$, где $n = 0, 1, 2 \dots$ (рис. 2, а). Так как внешнее воздействие определяет расположение пиков плотности распределения $p(\tau)$, то структуру $p(\tau)$ можно назвать когерентной. Огибающая пиков повторяет данную характеристику в отсутствие сигнала. Переключения происходят в узком интервале значений фазы сигнала (рис. 2, д).

При увеличении α частота переключений растет, увеличиваются SNR и η . Происходят изменения в структуре времен пребываний (рис. 2, б): наиболее вероятными становятся переключения в течение одного периода сигнала. Высоты пиков на временах $T/2 + nT$ убывают по экспоненциальному закону. Таким образом, плотность распределения времен пребываний $p(\tau)$ имеет ярко выраженную структуру. Распределение фазы сигнала в момент переключений $p(\varphi)$ становится шире (рис. 2, е).

При некотором значении α величины SNR_f , SNR_t и η_f , η_t имеют максимальные значения, т. е. наблюдается стохастический резонанс.

Из сравнения рис. 1, а и б видно, что с ростом амплитуды периодического сигнала область СР по параметру α увеличивается. Наблюдаются также отличия в поведении статистических характеристик для разных значений a . Для слабого воздействия ($a = 0.01$) средняя частота переключений $\langle \omega \rangle$ монотонно растет с увеличением параметра α . При сильном воздействии ($a = 0.3$) в области СР имеется область по параметру α , в которой $\langle \omega \rangle$ практически не меняется и близка к частоте периодического сигнала ω_c . В момент СР вероятность перехода в течение периода внешнего сигнала наибольшая (рис. 2, в), но если в режиме слабого воздействия пики на временах $T_c/2 + nT_c$ остаются, то при большой амплитуде сигнала имеется практически толь-

ко один пик на $T_c/2$. Переключения могут происходить в широкой области значений фазы сигнала (рис. 2, ж). Вероятность перехода в фазе с сигналом преобладает, тогда как вероятность перехода в противофазе равна нулю. При слабом воздействии отсутствует прямая взаимосвязь (которая наблюдается в стохастических бистабильных системах) между максимумом SNR и величиной $\langle \omega \rangle$.

Уменьшение отношения сигнал/шум для разных амплитуд сигнала имеет различный физический механизм. В случае слабого воздействия уменьшение SNR и η связано с тем, что вероятность переключений в противофазе становится отличной от нуля (рис. 2, з) и происходит размытие когерентной структуры пиков плотности распределения $p(\tau)$ (рис. 2, г). Уменьшение SNR и η при сильном воздействии связано с инерционными свойствами системы: так как воздействие велико, то после переключения система может по инерции переключиться обратно. В плотности распределения времен пребываний $p(\tau)$ процессу инерционного переключения соответствует узкий пик, расположение которого связано с фундаментальным периодом доминирующего, но неустойчивого, предельного цикла, на базе которого через последовательность бифуркаций удвоения периода возник хаотический аттрактор [4]. При этом структура на временах $T_c/2 + nT_c$ сохраняется. Как видно из рис. 2, з, преобладают переходы синфазные с внешним воздействием, вероятность переключения в противофазе равна нулю и имеется пик вероятности переходов, который связан с инерционностью системы.

Таким образом, эффект стохастического резонанса в цепи Чуа в режиме хаоса определяется степенью когерентности между периодическим возмущением и откликом системы. При разрушении когерентности (точнее, когерентной структуры в вероятностных характеристиках $p(\tau)$ и $p(\varphi)$) отношение сигнал/шум начинает уменьшаться. Можно выделить два механизма разрушения когерентности в зависимости от режима воздействия:

- при слабом воздействии переключения могут происходить при любом значении фазы сигнала (вероятность переключения в противофазе отлична от нуля);
- при сильном воздействии проявляются инерционные свойства цепи Чуа (возникают инерционные переключения).

На основании вышеизложенного явление СР в хаотической цепи Чуа можно назвать *когерентным стохастическим резонансом*.

Работа частично финансировалась за счет средств Российского фонда фундаментального естествознания (грант N 95-0-8.3-66).

Список литературы

- [1] Proceedings of the NATO Advanced Research Workshop on Stochastic Resonance. J. Stat. Phys. 1993. V. 70. N 1-2.
- [2] International workshop on Fluctuations in Physics and Biology: Stochastic Resonance, Signal Processing and Related Phenomenon. IL NUOVO CIMENTO D. 1995. V. 17. N 7-8.
- [3] Jung P. // Phys. Rep. 1994. V. 234. N 175.
- [4] Anishchenko V.S., Safonova M.A., Chua L.O. // J. Circuits, Systems and Computer. 1993. V. 3. N 2. P. 553-578.
- [5] Anishchenko V.S., Neiman A.B., Safonova M.A. // J. Stat. Phys. 1993. V. 70. N 1-2. P. 183-196.
- [6] Anishchenko V.S., Safonova M.A., Chua L.O. // Int. J. Bifurcation and Chaos. 1994. V. 4. N 2. P. 441-446.
- [7] Nicolis G., Nicolis C., McKernan D. // J. Stat. Phys. 1993. V. 70. N 1/2. P. 125-137.
- [8] Anishchenko V.S., Neiman A.B., Chua L.O. // Int. J. Bifurcation and Chaos. 1994. V. 4. N 1. P. 99-107.
- [9] Arecci F.T., Badini R., Politi A. // Phys. Rev. A. 1984. V. 29. P. 1006-1011.
- [10] Анищенко В.С. Сложные колебания в простых системах. М.: Наука, 1990. 312 с.
- [11] Anishchenko V.S. Dynamical Chaos-Models and Experiments. Singapore: World Scientific, 1995. 400 p.
- [12] Анищенко В.С., Нейман А.Б. // Письма в ЖТФ. 1987. Т. 13. С. 1063-1066.
- [13] Chua L., Komuro M., Matsumoto T. // IEEE Trans. Circuits Syst. 1986. V. 33. P. 1073-1118.
- [14] Moss F. Stochastic resonance: from the Ice Ages to the Monkey's ear, Dept. of Physics. University of Missouri at Saint Louis, 1992. 60 p.
- [15] Zhou T., Moss F. // Phys. Rev. A. 1990. V. 41. N 8. P. 4255-4264.

Поступило в Редакцию
6 августа 1996 г.